

《植物科学学报》投稿模版

1. 为了便于审稿专家审阅，要求稿件的行距设置为 1.5 倍。除下面数字序号中有特别要求外，稿件中的字体大小为小四，中文字体为宋体，英文字体为 Times New Roman。

2. 文中植物拉丁学名的书写格式为：属名斜体+种名斜体+定名人；变种的格式为：属名斜体+种名斜体+定名人+var.+变种名斜体+定名人；变型的格式为：属名斜体+种名斜体+定名人+f.+变种名斜体+定名人；栽培品种拉丁学名的书写格式为：属名斜体+种名斜体+‘品种的英文名或汉语拼音’。

如：亚洲莲 *Nelumbo nucifera* Gaertn.

亚洲莲的品种小天使 *Nelumbo nucifera* 'Xiao Tianshi'

秃叶黄槿 *Phellodendron chinense* var. *glabriusculum*

紫花耧斗菜 *Aquilegia viridiflora* Pall. f. *atropurpurea* (Willd.) Kitalg.

3. 引用文献采用顺序编码制，著录顺序按在论文中所引用文献出现的先后连续编号。文献在文中的标注格式如下：

据统计，干旱导致的减产已超过因其它因素所造成减产的总和^[1]。在我国，干旱半干旱地区占国土面积的 47%，占总耕地面积的 51%^[2]。

4. 中文题目，作者姓名及单位在排版格式上要求居中。题目为宋体三号加粗；作者之间用逗号隔开，单位排名先后用上标数字标注，通讯作者加上标*号；作者单位之间用分号隔开，书写顺序为：单位名称+逗号+城市名称+邮编，字号为五号。具体书写实例如下：

花苜蓿抗旱耐盐 EST-SSR 标记筛选

刘洁^{1,2}，胡蝶^{1,2}，楚海家¹，闫娟^{1*}，李建强^{1*}

(1. 中国科学院武汉植物园，中国科学院特色农业重点实验室，武汉 430074; 2. 中国科学院大学，北京 100049)

5. 中文摘要内容包括：研究目的，研究材料，采用实验方法、技术方法或主要的数

据处理方法等，取得的主要结果及由这些结果反映出的变化趋势或推断出的某些结论等，研究意义等。

关键词要能代表文章的主要内容，便于文献搜索与引用。关键词一般为 3-8 个，关键词之间要用分号隔开。中文摘要及关键词的具体排版格式可参照如下：

摘要：为了给花苜蓿 (*Medicago ruthenica* Trautv.) 抗旱耐盐的生态适应性研究提供特异的遗传标记，在已公布的 70 对鹰嘴豆抗旱耐盐 EST-SSR 标记中筛选出稳定性好、多态性高的 8 对引物，并用这 8 对引物对挑选出的 11 个居群的 286。……

关键词：花苜蓿；EST-SSR 标记；抗旱耐盐；引物筛选

6. 英文题目为 Times New Roman 四号居中，且题目中的实词首字母大写；作者姓名的拼音拼写方法为姓前名后，姓为全拼且全部大写，名为全拼且首字母大写，每位作者之间用逗号隔开，字号为 Times New Roman 小四号；作者单位的英文名称之间用分号隔开，书写顺序为：单位名称+逗号+城市名称+邮编+逗号+国家名称，字号为 Times New Roman 五号。

英文题目、作者姓名及单位要与中文题目、作者及单位保持一致，具体格式及书写可参照如下：

**Screening of Drought- and Salinity-responsive EST-SSR Markers in
Medicago ruthenica Trautv**

LIU Jie^{1,2}, HU Die^{1,2}, CHU Hai-Jia¹, YAN Juan^{1*}, LI Jian-Qiang^{1*}

(1. Key Laboratory of Plant Germplasm Enhancement and Specialty Agriculture, Wuhan Botanical Garden, Chinese Academy of Sciences, Wuhan 430074, China; 2. University of Chinese Academy of Science, Beijing 100049, China)

7. 英文摘要和关键词的内容要与中文摘要及关键词保持一致，但英文摘要内容允许比中文摘要内容更丰富些，关键词的首字母大写，具体书写格式如下：

Abstract: To provide genetic markers for the study of ecological adaptability to responsive drought- and salinity-stress for *Medicago ruthenica* Trautv, we selected eight pairs of good polymorphism and high stability primers from 70 pairs of ……

Key words: *Medicago ruthenica* Trautv; Drought- and salinity-responsive; EST-SSR marker; Primer screening

8. 以“引用-插入脚注”的方式来标注首页脚注的基本信息(小五号字), 内容包括(1) 收稿日期和修回日期, 具体日期可先空着; (2) 基金项目, 包括项目名称和编号; (3) 作者简介: 包括姓名(出生年-), 性别, 职称或学历, 研究方向(E-mail); (4) *通讯作者。具体书写格式如下:

收稿日期: 2013-03-11, 修回日期 2013-08-13。

基金项目: 青年科学基金项目(31000147)。

作者简介: 刘洁(1988-), 女, 硕士研究生, 研究方向为系统与进化植物学(E-mail: sunshine3231@163.com)。

*通讯作者(Author for correspondence. E-mail: yjcas@hotmail.com; lijq@wbcas.cn)

9. 前言以段落式直接书写, 不标注标题和编号, 内容应包括: 对研究材料的描述及其科研价值(如农业、植物分类学、药学、观赏等); 国内外研究现状及存在问题或急需解决的科学问题; 前人已开展的相关研究及取得的结果论述; 作者开展此类实验的目的及意义; 对采用的主要技术方法的描述等。

10. 材料与方法部分的书写格式如下:

1 材料与方法

1.1 实验材料(包括植物拉丁学名, 来源, 生境或栽培条件, 采样部位等)

1.2 实验方法(包括实验处理、技术方法流程或体系、数据处理与统计等, 可根据内容可自行设置三级标题, 如 1.2.1, 1.2.2.....)

11. 结果与分析部分, 图与表的引用格式如下:

(1) 纵横坐标图(曲线图、折线图和柱状图等)的引用格式如下:

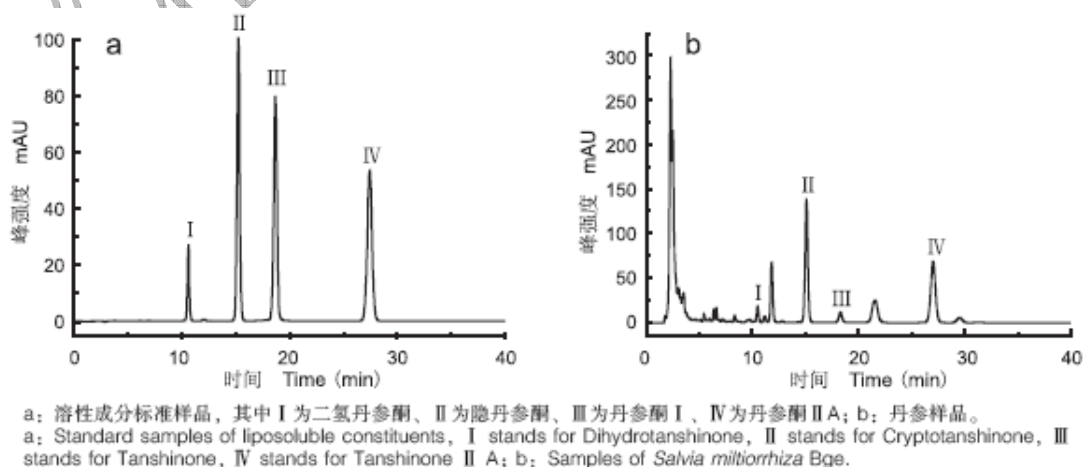


图 1 丹参脂溶性成分 HPLC 分析图谱
Fig. 1 HPLC of liposoluble constituents in *S. miltiorrhiza* Bge.

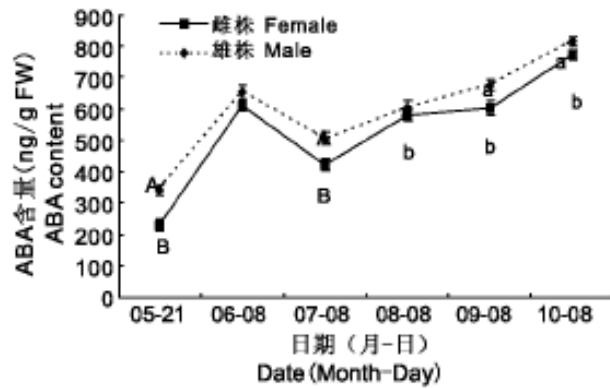
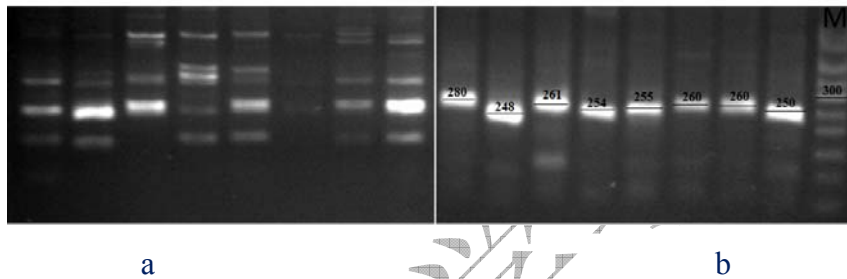


图 2 黄连木雌雄株叶片 ABA 含量
Fig. 2 Leaf ABA content in male and female plants of *Pistacia chinensis* Bunge

(2) 照片图的引用格式如下:



M: DNA 标记。图中数字表示片段长度, 单位为 bp。

M: DNA Marker. The numbers in the figure represent the length of fragment, unit is bp.

图 2 引物 ICCeM0146 在 54°C (a) 和 59°C (b) 的扩增结果

Fig. 2 Results of SSR- PCR amplification at different annealing temperature [54°C (a) and 59°C (b)]

(3) 三线表应包括中文表题和对应的英文表题, 中文栏目名称和对应的英文栏目名称。若表中内容需作进一步解释的, 需加中英文表注, 具体参考格式如下:

表 1 各标记的等位基因频率分析

Table 1 Allele frequency analysis of the eight loci

位点 Locus	等位基因数 A	检测个体数 N	观测杂合度 H_o	预期杂合度 H_e	多态信息含量 PIC
ICCeM0055	20	271	0.528	0.683	0.638
ICCeM0058	20	265	0.581	0.807	0.784
Mean	13.88	275	0.4965	0.6867	0.6486

注: A, 在所有居群中检测到的等位基因数; N, 检测个体数; H_o , 观察杂合度; H_e , 预期杂合度; PIC, 多态信息含量。

Notes: A, Number of alleles across all populations; N, Number of tested individuals; H_o , Observed heterozygosity; H_e , Expected heterozygosity; PIC, Polymorphism information content.

(4) 若表中的栏目和类别较多，可采用如下格式：

表 2 乌桕各种群间叶片乳汁和叶片中单宁含量的方差分析

Table 2 ANOVA testing for the differences in tannins in tallow leaf and latex among seven populations

因素 Factor	乳汁 Latex				叶片 Leaves					
	儿茶素 Catechin		没食子酸 Gallic acid		儿茶素 Catechin		没食子酸 Gallic acid		单宁酸 Tannic acid	
	df	<i>p</i>	df	<i>p</i>	df	<i>p</i>	df	<i>p</i>	df	<i>p</i>
种群 Population	6	0.036	3	0.047	6	0.053	6	0.000	6	0.000

12. 讨论部分应针对文章的主要结果展开论述

13. 根据文章结构与内容的需要，作者自行决定是否书写结论部分

14. 参考文献应尽量引用国内外最近3-5年的研究成果，并且将全部作者列出。文献包括期刊、书籍、会议论文集、毕业论文、专利、电子文献等，具体引用格式如下：

引用书籍时，著录格式为：[序号] 编著者. 书名[M]. 版次（第1版略）. 译者. 出版地：出版者，出版年：起-止页. 例如：

[1] 徐云碧, 朱立煌. 分子数量遗传学[M]. 北京：中国农业出版社, 1994: 108-110.

[2] 韦直, 黄以之. 中国植物志：第42卷, 第2分册[M]. 北京：科学出版社, 1998: 318-320.

[3] 李正理. 植物制片技术 [M]. 第2版. 北京：科学出版社, 1987: 10-15.

[4] 西涅阿科夫 TH, 潘诺夫NM著. 土壤耕作机械的理论和计算 [M]. 李清桂, 高尔光, 张先达译. 北京：中国农业机械出版社, 1981: 25, 256.

[5] Eissen HN. Immunology. An Introduction to Molecular and Cellular Principles of the Immune Responses [M]. 5th ed. New York: Harper and Row, 1974: 40.

引用期刊时，著录格式为：[序号] 作者. 题名[J]. 刊名(外文刊名用斜体，2个单词以上(含2个词)用缩写形式；1个单词的不缩写), 出版年, 卷(期)：起-止页. 例如：

[1] 俞仁培, 陈德明. 我国盐渍土资源及其开发利用[J]. 土壤通报, 1999, 30(4): 158-159.

[2] Chen C, Imamura N, Nishijima M, Adachi K, Sakai M, Sano H. Halymecins, new

antimicrobial substances produced by fungi isolated from marine algae[J]. *J Antibiot*, 1996, 49(10): 998-1005.

- [3] Cui CM, Li XM, Li CS, Proksch P, Wang BG. Cytochalasins A-G, cytochalasans from a marine-derived endophytic fungus, *Chaetomium globosum* QEN-14[J]. *J Nat Prod*, 2010, 73(4): 729-733.

引用论文集、专著的析出部分时，著录格式为：[序号] 析出文献的著者. 析出文献题名[M或C]// 原文献编著者 (ed) (eds). 原文献题名. 出版地: 出版者, 出版年: 析出文献起止页码.

- [1] 林忠平. 生物大分子和亚细胞结构的分离 [M] //孙敬三, 钱迎倩主编. 植物细胞学研究方法. 北京: 科学出版社, 1987: 336-404.
- [2] Ma TX, Lu XS. Computer aided analysis of the penetration of mounted tillage implement [C] // Zhang W, Guo PY, Zhang SW, eds. *Agricultural Engineering and Rural Development: Vol 1*. Beijing: International Academic Publishers, 1992: 157-160.

引用学位论文时，著录格式为：[序号] 作者. 题名 [D]. 保存地点: 保存单位, 年份: 页码.

- [1] 殷建明. 10种异源细胞质对小麦雄性不育等特性影响的比较研究 [D]. 武汉: 武汉大学, 1993: 7.

引用专利时，著录格式为：[序号] 专利所有者. 专利题名 [P]. 专利国别: 专利号, 出版日期.

- [2] 曾德超. 常速高速通用优化犁 [P]. 中国专利: 85203720, 1986-11-13.

引用电子文献时，著录格式为：[序号] 主要责任者. 电子文献题名[电子文献及载体类型标识]. 电子文献的出处或获得地址, 发表或更新日期/引用日期 (任选)。例如:

- [1] Jeon JH, Kim HS. Molecular cloning of isoflavone synthase gene from *Pueraria lobata* [DB/OL]. [http://www.ncbi.nlm.nih.gov/nucleotide/20147511?report=genbank&log\\$=nucltop&blast_rank=2&RID=72UAKZGU01N](http://www.ncbi.nlm.nih.gov/nucleotide/20147511?report=genbank&log$=nucltop&blast_rank=2&RID=72UAKZGU01N), 2002-04-14.
- [2] Webb CO, Ackerly DD, Kembel S. Phylocom: software for the analysis of phylogenetic community structure and character evolution (with phylomatic and ecovolve) -user's manual Version 4.1 [EB/OL]. <http://phylodiversity.net/phylocom/>, 2009

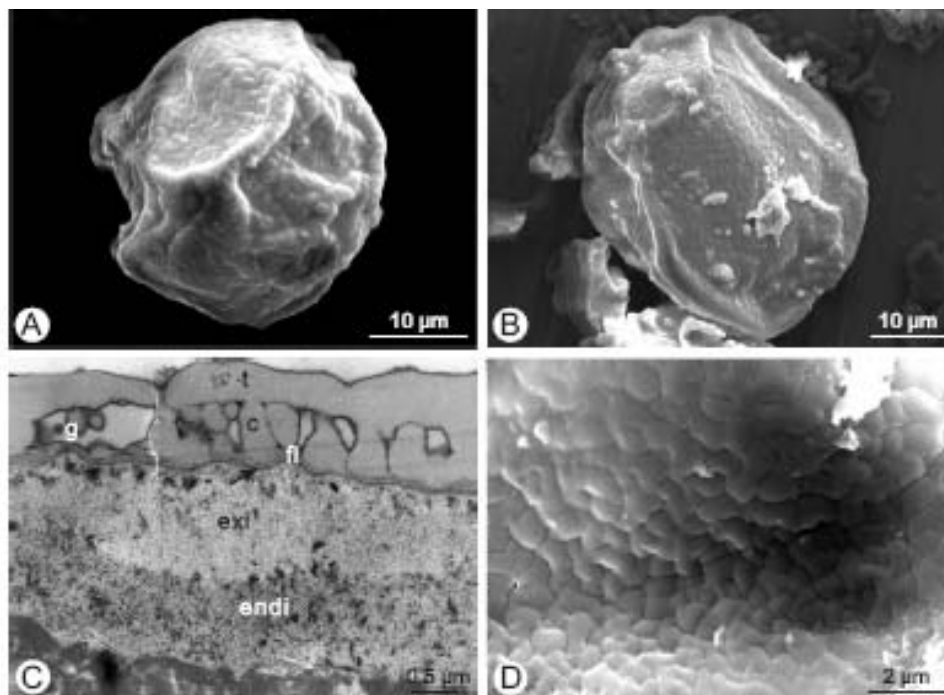
注: [DB/OL]为联机网上数据库; [EB/OL]为网上电子公告; [J/OL]为网上期刊

15. 图版应放文章末尾（文献之后），格式如下：

(1) 若图和说明可集中排在一页时，则图版说明排于图的下方，参考格式如下：

阳桂芳等：图版 I

YANG Gui-Fang et al. : Plate I



扫描电子显微镜和透射电子显微镜下美乐多花粉形态。A, B: 单粒扁圆形花粉；C: 花粉壁结构，示花粉外壁和逐渐变薄的花粉内壁；D: 示微褶皱状花粉外壁纹饰。

SEM and TEM views of pollen grains of *Melodorum fruticosum* Lour. A, B: Single pollen grain; C: Detail of pollen wall, showing exine and thinned intine; D: Ornamentation of sexine, micro-rugulate ornamentation.

(2) 若图版说明文字较多，不能与图版排在一页上，可将图版说明文字集中排于参考文献之后，而将图版单独置于文末，具体参考格式如下：

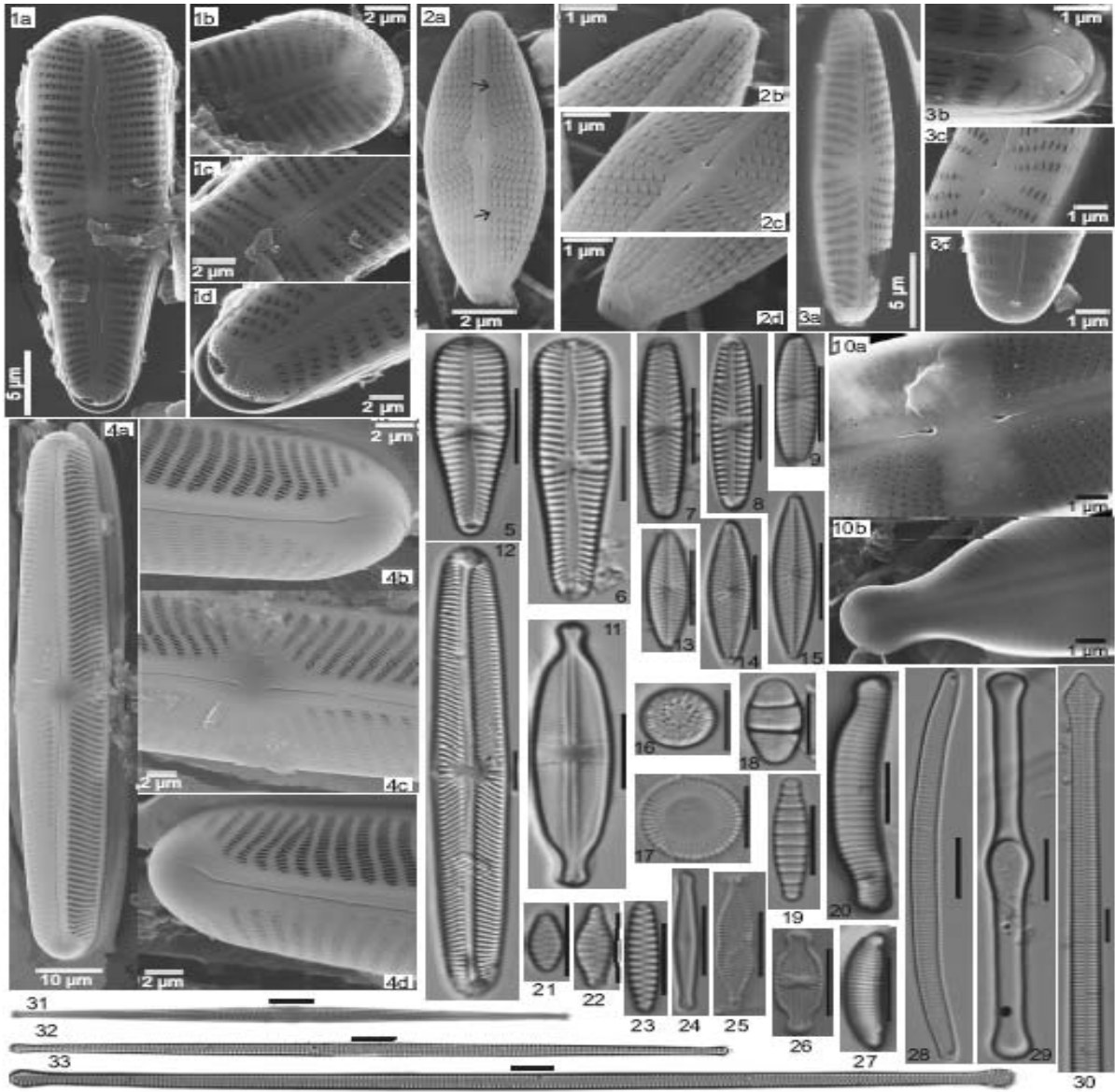
图版说明

Plate I: 1. 宽颈异极藻: 1a. 外壳面观整体; 1b. 头端外壳面观, 壳缝末端转向一侧; 1c. 中央区的外壳面观. 可见一孤点; 1d. 下端外壳面观, 足孔区一分为二。2. 安氏舟形藻: 2a. 外壳面观整体, 箭头所指为沃伊特现象; 2b, 2d. 壳缝两个远缝端的细节图; 2c. 中央区及壳缝近缝端细节图。3. 西比舟形藻: 3a. 外壳面观整体; 3b. 远缝端外壳面观, 壳缝钩向一侧; 3c. 中央区及壳缝近缝端细节图; 3d. 远缝端内壳面观, 可见一螺旋舌。4. 极长圆舟形藻: 4a. 外壳面观整体; 4b, 4d. 两个远缝端细节图, 壳缝末端转向同侧; 4c. 中央区的外壳面观。5, 6. 宽颈异极藻。7~9. 西

比舟形藻。 10. 瑞卡德辐节藻： 10a. 中央区的外壳面观； 10b. 壳面一端的外壳面观。 11. 瑞卡德辐节藻。 12. 极长圆舟形藻。 13~15. 安氏舟形藻。 16. 扭曲小环藻。 17. 梅尼小环藻。 18. 小型等片藻。 19. 念珠状等片藻。 20. 拱形短缝藻。 21~23. 羽状窄十字脆杆藻。 24. 微型曲壳藻。 25. 寄生假十字脆杆藻近缢缩变种。 26. 偏肿泥生藻。 27. 缺刻短缝藻。 28. 矛盾短缝藻。 29. 窗格平板藻。 30. 头状肘形藻。 31. 尖肘形藻。 32. 二头针杆藻。 33. 二头肘形藻。 (1~4, 10 为扫描电子显微镜图片，标尺已在图版中标出。 5~9, 11~33 为光学显微镜图片，标尺 = 10 μm)

Explanation of Plates

Plate I : 1. *Gomphonema laticollum*: Fig. 1a. External view of entire valve; Fig. 1b. External view of headpole, with deflected distal raphe ends; Fig. 1c. External view of central area with a small round stigma; Fig. 1d. External view of footpole, with apical pore fields bilobed. 2. *Navicula antonii*: Fig. 2a. External view of entire valve. Arrows show voigt faults; Fig. 2b, 2d. Details of apices with hooked terminal fissures; Fig. 2c. Details of central area and central poles. 3. *Navicula seibigiana*: Fig. 3a. External view of entire valve; Fig. 3b. External view of valve apex with hooked terminal fissure; Fig. 3c. Details of central area and central poles; Fig. 3d. Internal view of valve apex with typical helictoglossa. 4. *Navicula peroblunga*: Fig. 4a. External view of entire valve; Fig. 4b, 4d. Details of apices with hooked terminal fissures; Fig. 4c. External view of central area. 5, 6. *Gomphonema laticollum*. 7-9. *Navicula seibigiana*. 10. *Stauroneis reichardtii*: Fig. 10a. External view of central area; Fig. 10b. External view of valve apex. 11. *Stauroneis reichardtii*. 12. *Navicula peroblunga*. 13-15. *Navicula antonii*. 16. *Cyclotella comta*. 17. *Cyclotella meneghiniana*. 18. *Diatoma mesodon*. 19. *Diatoma moniliformis*. 20. *Eunotia arcubus*. 21-23. *Staurosirella pinnata*. 24. *Achnantheidium minutissimum*. 25. *Pseudostaurosira parasitica* var. *Subconstricta*. 26. *Luticola ventricosa*. 27. *Eunotia incisa*. 28. *Eunotia ambivalens*. 29. *Tabellaria fenestrata*. 30. *Ulnaria capitata*. 31. *Ulnaria acus*. 32. *Synedra biceps*. 33. *Ulnaria biceps*. (Fig. 1-4, Fig. 10. SEM. Scale bars showed in plate. Fig. 5-9, 11-33. LM. Scale bar = 10 μm)



See explanation at the end of test